強度のばらつきを有するセメント改良土の一軸圧縮試験

芝浦工業大学 学生会員 〇檜山 将太 芝浦工業大学 正会員 並河 努

1. 研究背景と目的

セメント系地盤改良工法の一つである深層混合処理 工法は地盤改良工法として幅広く用いられているが, 強度のばらつきが生じるため,設計においてばらつき の評価方法が非常に重要である.現行設計法¹⁾ におい て改良体の設計基準強度は,改良体の一軸圧縮強さの 平均と標準偏差をもとに求めているが,強度の空間的 なばらつきは考慮されていない.

本研究では、強度の空間的ばらつきを有する供試体 (以下, ばらつきを有する供試体)を室内にて人工的 に作製し、一軸圧縮試験を行い、強度の空間的ばらつ きが強度や破壊挙動に与える影響を調べることを目的 としている. さらに、均質な供試体における初期弾性 係数 (10-4ひずみにおける弾性係数)を測定し、一軸圧 縮強さとの関係を調べている.

2. 実験概要

2-1 供試体条件

供試体は蒸留水・普通ポルトランドセメント・豊浦砂・カオリンを使い作製する.配合を表-1に示す. 攪拌混合にはハンドミキサーを使用した.

表-1 配合表

		水	セメント	豊浦砂	カオリン	合計
配合1	重量(g)	339.56	127.11	1258.38	90.79	1815.84
	比率(%)	18.7%	7.0%	69.3%	5.0%	100.0%
配合2	重量(g)	339.56	190.67	1199.03	87.16	1816.42
	比率(%)	18.7%	10.5%	66.0%	4.8%	100.0%
配合3	重量(g)	339.56	154.35	1232.82	89.71	1816.44
	比率(%)	18.7%	8.5%	67.9%	4.9%	100.0%

供試体寸法は高さ 10cm・直径 5cm の円柱供試体である.供試体を 5層に分け、電動マッサージ機を使用し、各層モールド側面の 4 方向から振動をかけ作製した.高さ 14cm のモールドで作製し、脱型時に上下 2cm 削り 10cm にすることで供試体上下に発生する強度差が小さくなるようにした.供試体の養生期間は 7日とし、供試体の作製から 3 日で脱型し、その後 4 日間水槽内で湿潤養生させた.作製から脱型までの 3 日間は気中で養生させた.

今回試験実施したばらつきを有する供試体のケースを図-1に示す.上下2分割・左右2分割・4分割・8分割の計4ケースの試験を実施した.上下2分割以外の供試体は仕切り板を使用し作製した.

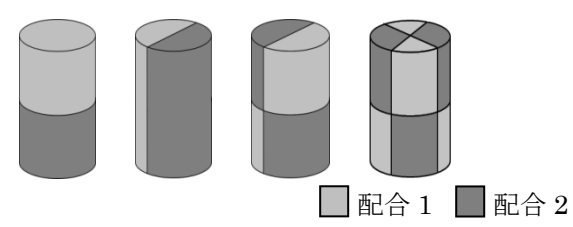


図-1 ばらつきを有する供試体

2-2 実験方法

強度が均質な供試体とばらつきを有する供試体において一軸圧縮試験を行った.

供試体の上下端面は石膏によるキャッピングを行った(写真-1参照). また,外部変位計のほかに局所変位計(以下,L.D.T.)を作製し使用した.L.D.T.は供試体に直接付けてひずみを計測するため,供試体端面で発生するベディングエラーの影響を排除した測定値を得ることができる.L.D.T は供試体側面での直径両端の2箇所に垂直に付け測定した(写真-1参照). 載荷速度は約0.044mm/minに設定した.



写真-1 試験時の 供試体

3. 実験結果

3-1 強度が均質な供試体の試験結果

試験で得られた応力ひずみ関係の例を図-2 に示す. L.D.T.と外部変位計の軸ひずみには大きな差がみられる. これは,外部変位計による計測値にはベディングエラーが含まれているためである.

実験で得られた一軸圧縮強さと破壊ひずみ,供試体のサンプル数について表-2に示す.破壊ひずみとは軸差応力のピーク時におけるひずみである.表に示されている数値は各配合の平均値である.破壊ひずみはL.D.T.で計測したものである.

図-3 に一軸圧縮強さと初期弾性係数の関係を示す. 結果を最小 2 乗法を用いて原点を通る 1 次・2 次曲線で近似した. 決定係数 (R^2) を用いて相関を調べたところ, 0.8 以上となり強い相関があるといえる.

このことより、一軸圧縮強さと初期弾性係数の関係は 1 次もしくは 2 次関係で表すことができることが明らかとなった。

表-2 一軸圧縮強さと破壊ひずみ(均質)

	一軸圧縮強さ	破壊ひずみ	サンプル数
	(kN/m^2)	(%)	リンフル剱
配合1	1328	0.241%	24
配合2	3346	0.225%	24
配合3	2003	0.198%	12

キーワード セメント改良土,一軸圧縮強さ,ばらつき

連絡先 〒135-8548 東京都江東区豊洲 3-7-5 豊洲キャンパス研究棟 9階 芝浦工業大学 TEL03-5859-8358

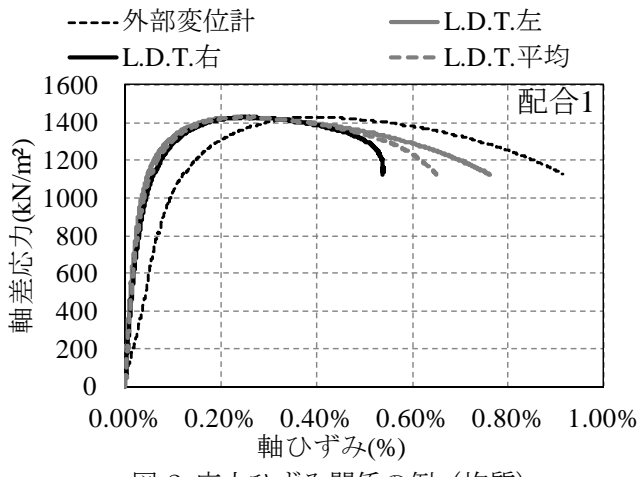
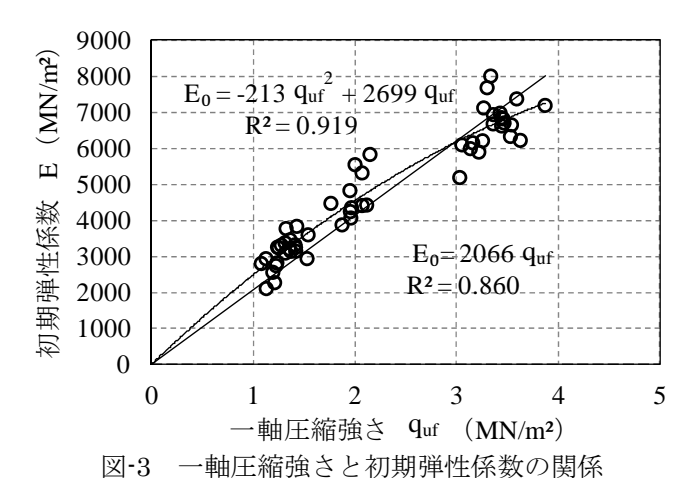


図-2 応力ひずみ関係の例(均質)



3-2 ばらつきを有する供試体の試験結果

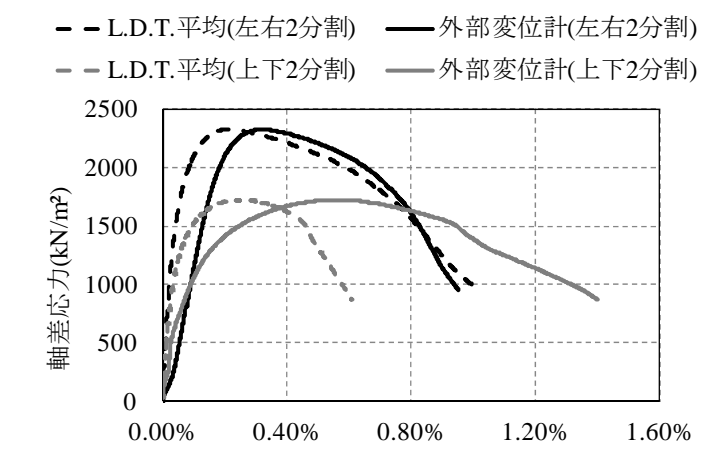
ばらつきを有する供試体(上下2分割,左右2分 割)の応力ひずみ関係の例を図-4に示す.両ケースと もピーク応力前で非線形挙動が顕著になり、ピーク後 はひずみ軟化挙動がみられる. この傾向はすべてのケ ースで同じであった.

実験で得られた一軸圧縮強さと破壊ひずみ、供試体 のサンプル数を表-3に示す、表中の数値は各ケースの 平均値である. 破壊ひずみは L.D.T.で計測されたひず みより算定した.

ばらつきを有する供試体の一軸圧縮強さのまとめを 図-5 示す. 黒点が各ケースの平均値であり、各ケース の強度の最大値と最小値を併せて示している. 各ケー スの配合強度の平均値は同じであるが、平均一軸圧縮 強さは異なる値となり、上下2分割は配合1に左右2 分割・8分割は配合 1・2 の平均値に近い値となった.

写真-2 に各ケースの破壊挙動の例を示す. 上下 2 分 割は強度の小さい配合部分に破壊領域がみられた. 左 右2分割は異なる配合の境界部分を中心に破壊領域が みられた. 4分割・8分割は強度の小さい配合部分や異 なる配合の境界部分を中心に破壊領域がみられた.

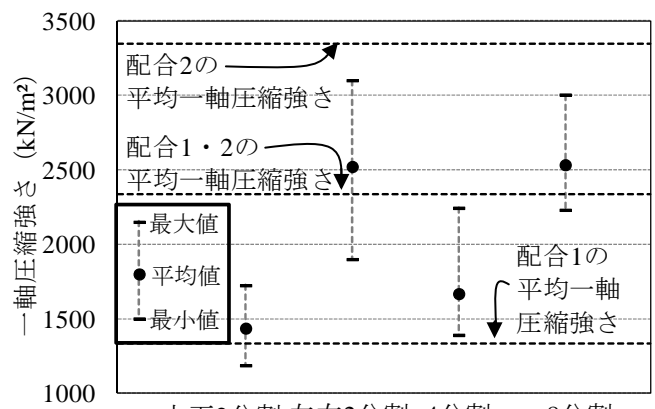
以上のことから,使用した配合強度の平均が同じでも 配置によって強度に差が生じ、破壊挙動が異なること が明らかになった.



軸ひずみ(%) 図-4 応力ひずみ関係の例(上下2分割・左右2分割)

表-3 一軸圧縮強さと破壊ひずみ(ばらつき)

	一軸圧縮強さ	破壊ひずみ	サンプル数
	(kN/m^2)	(%)	リンフル剱
上下2分割	1436	0.395	12
左右2分割	2522	0.232	12
4分割	1668	0.140	12
8分割 2534		0.147	12



上下2分割 左右2分割 4分割 8分割 図-5 配合 1・2 の一軸圧縮強さとばらつきを有する 供試体の一軸圧縮強さの関係









左右 2 分割 上下 2 分割

4 分割

8分割

左:配合1 上:配合1 左上:配合1 上:配合1 下:配合2 右:配合2 左下:配合2 下:配合2 写真-2 ばらつきを有する供試体の破壊挙動

4. 結論

本研究を行い、強度の空間的ばらつきが強度や破壊 挙動に与える影響が大きいことが明らかになった. ま た, L.D.T.を使用したことで精度の高い初期弾性係数を 計測することができた.

参考文献

1) 建築基礎のための地盤改良設計指針案 日本建築学会 p43-p44